

図 3.2.49 秋季における塩分の南北断面分布 (130°E)

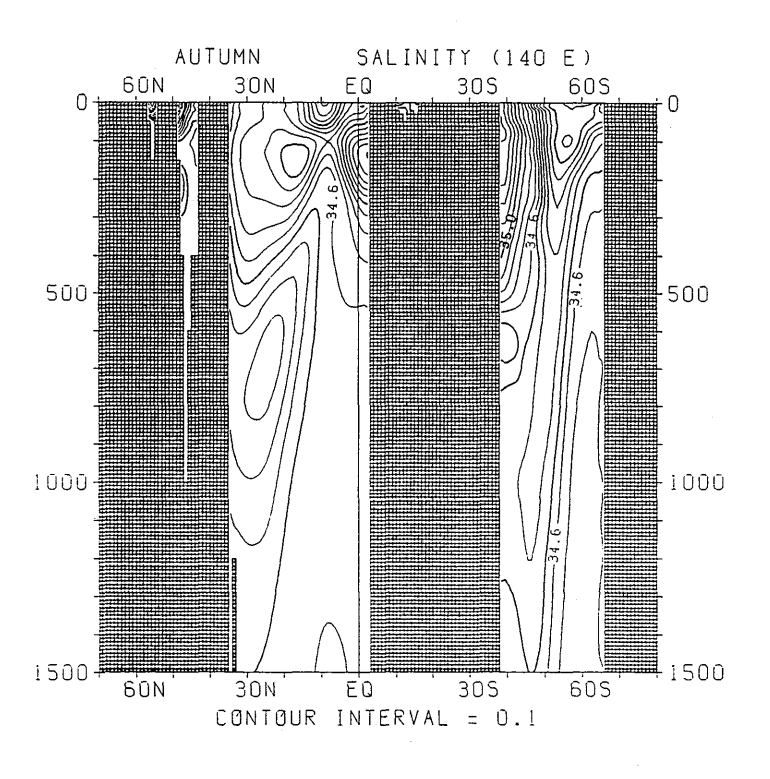


図 3.2.50 秋季における塩分の南北断面分布 (140°E)

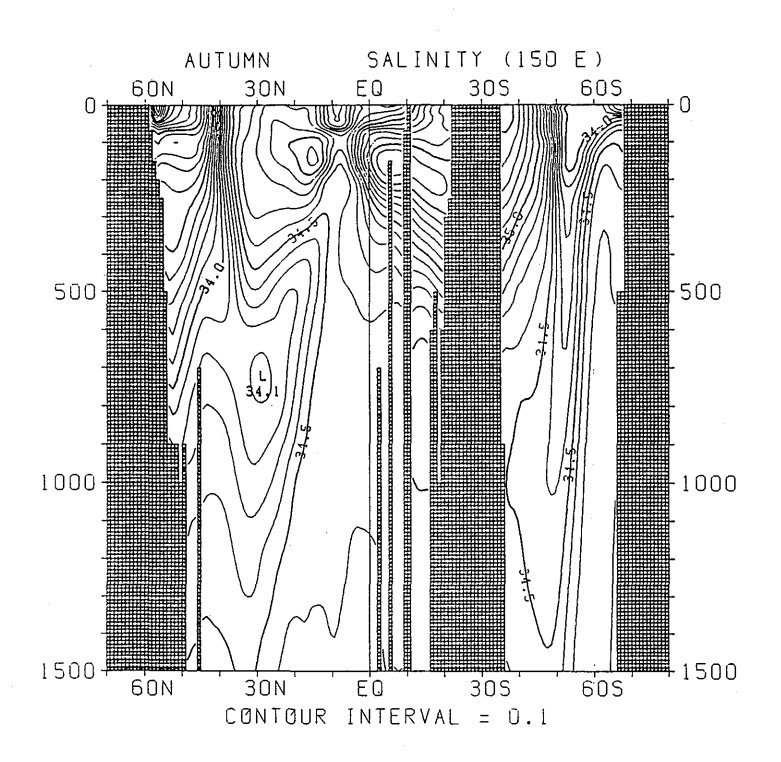


図 3.2.51 秋季における塩分の南北断面分布 (150°E)

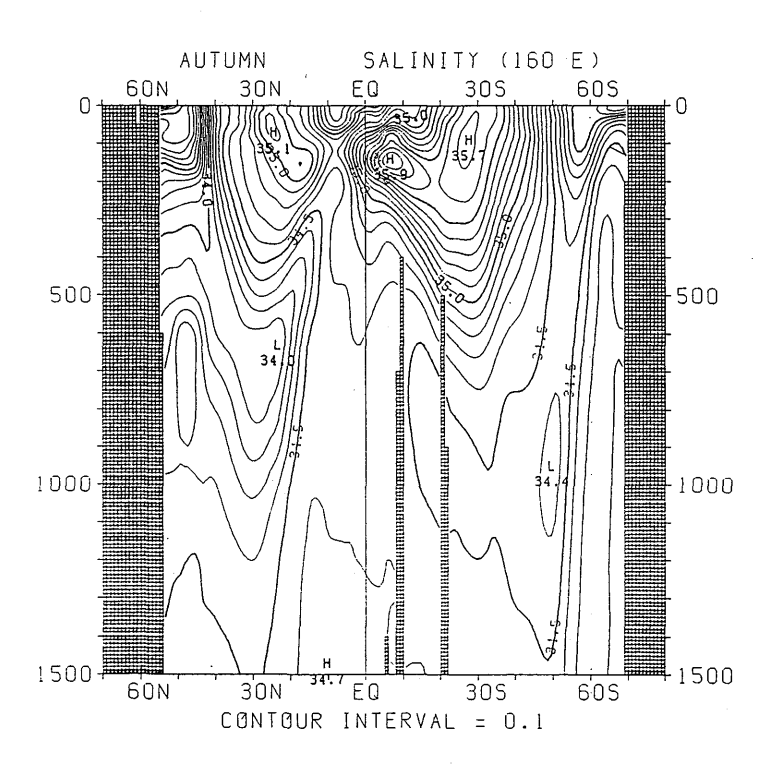


図 3.2.52 秋季における塩分の南北断面分布 (160°E)

## 気象研究所技術報告 第25号 1989

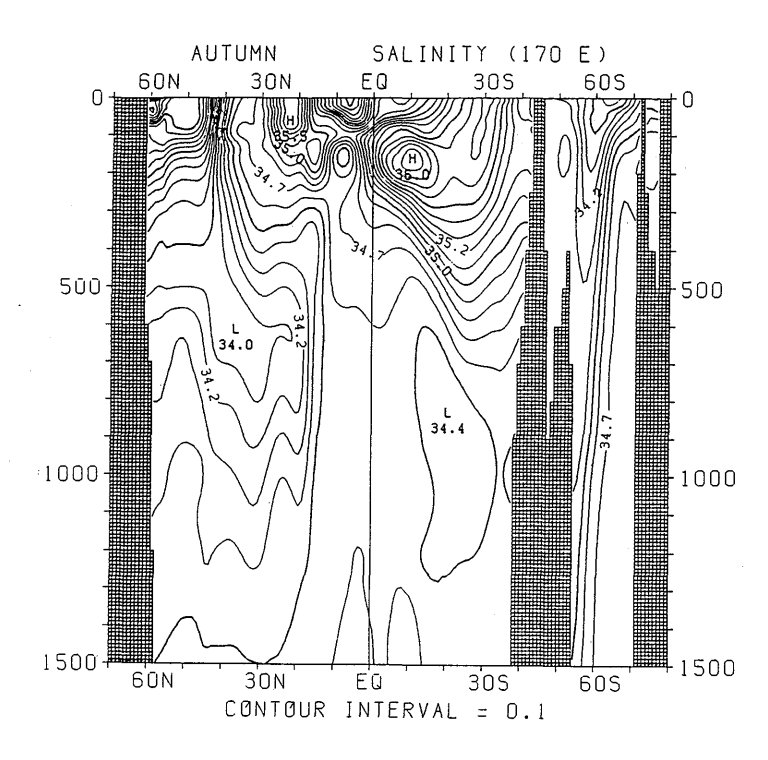


図 3.2.53 秋季における塩分の南北断面分布 (170°E)

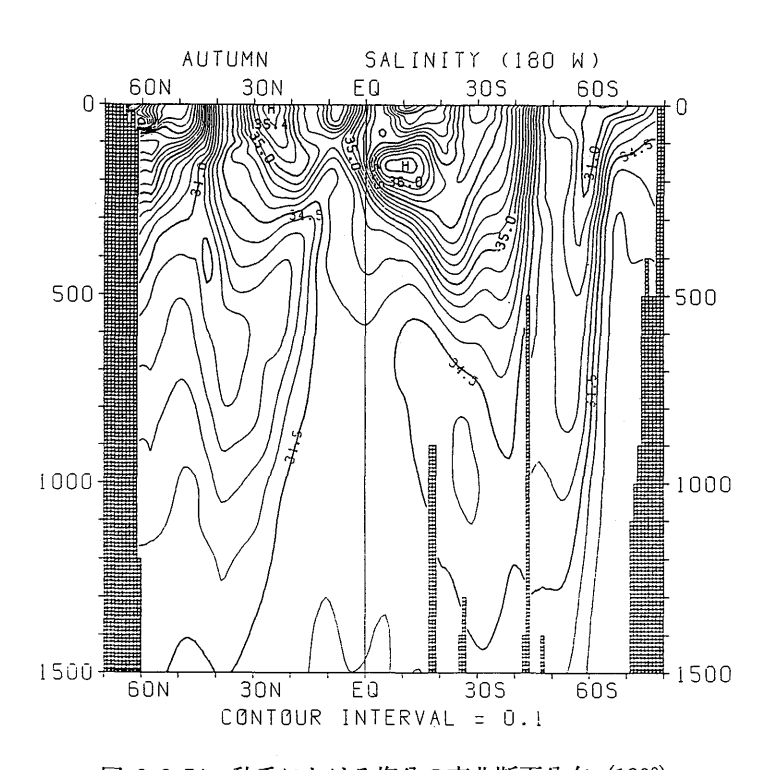


図 3.2.54 秋季における塩分の南北断面分布 (180°)

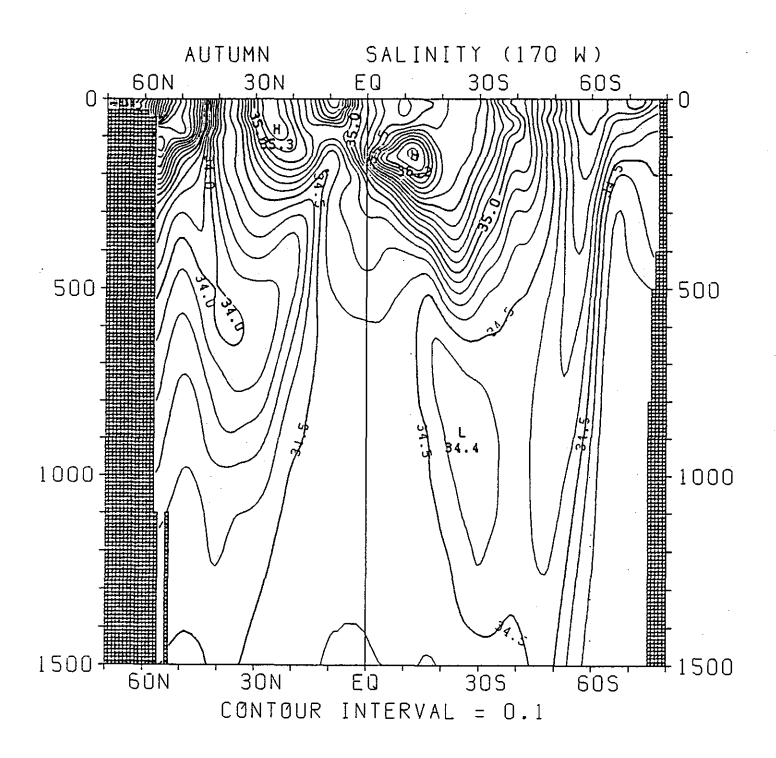


図 3.2.55 秋季における塩分の南北断面分布 (170°W)

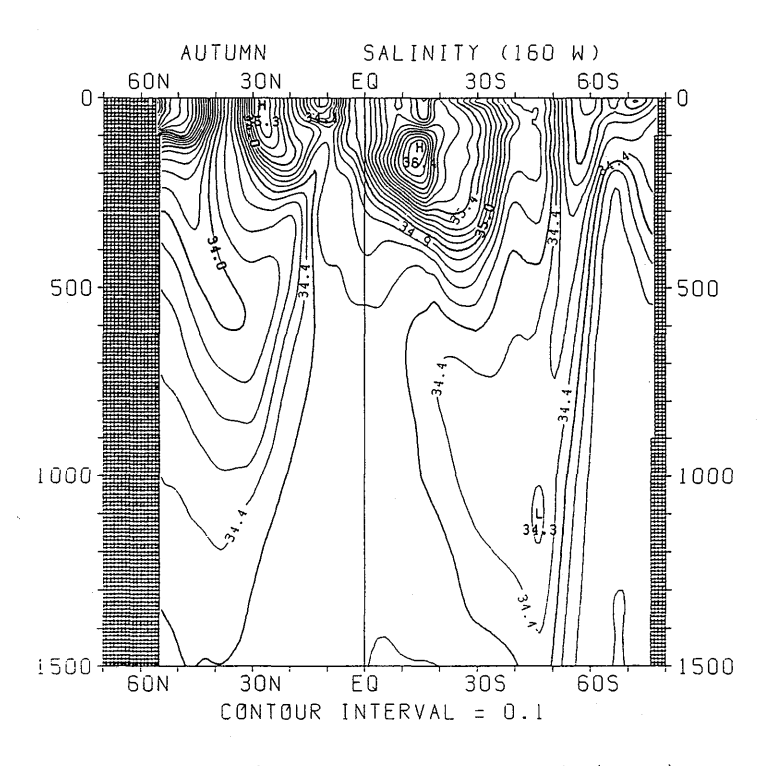


図 3.2.56 秋季における塩分の南北断面分布 (160°W)

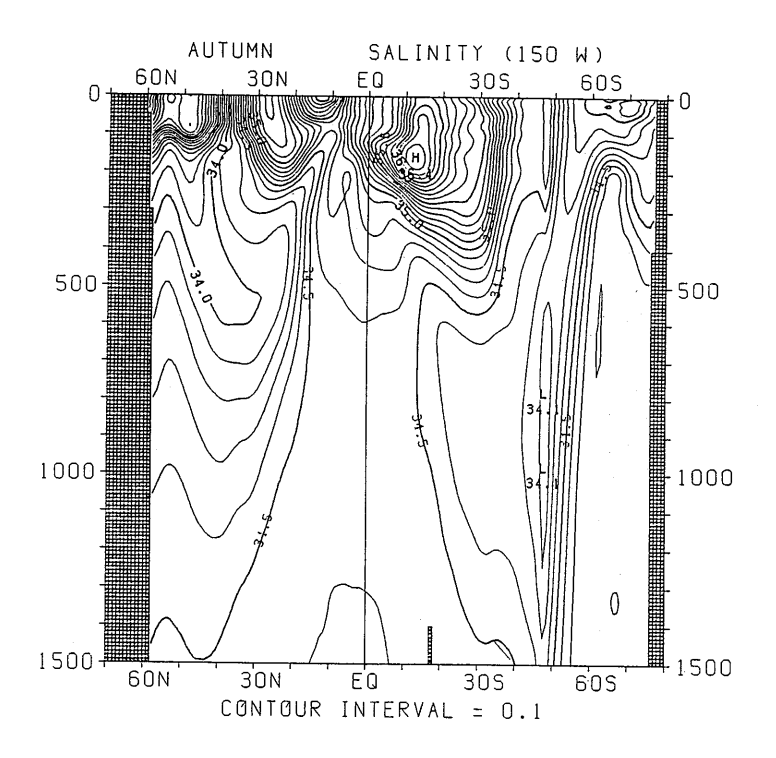


図 3.2.57 秋季における塩分の南北断面分布 (150°W)

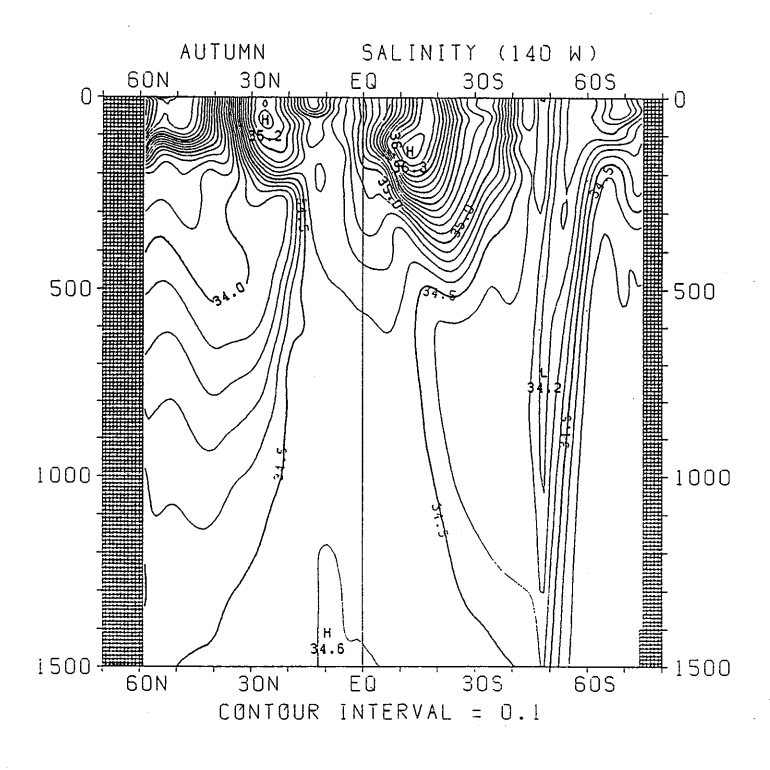


図 3.2.58 秋季における塩分の南北断面分布 (140°W)

## 気象研究所技術報告 第25号 1989

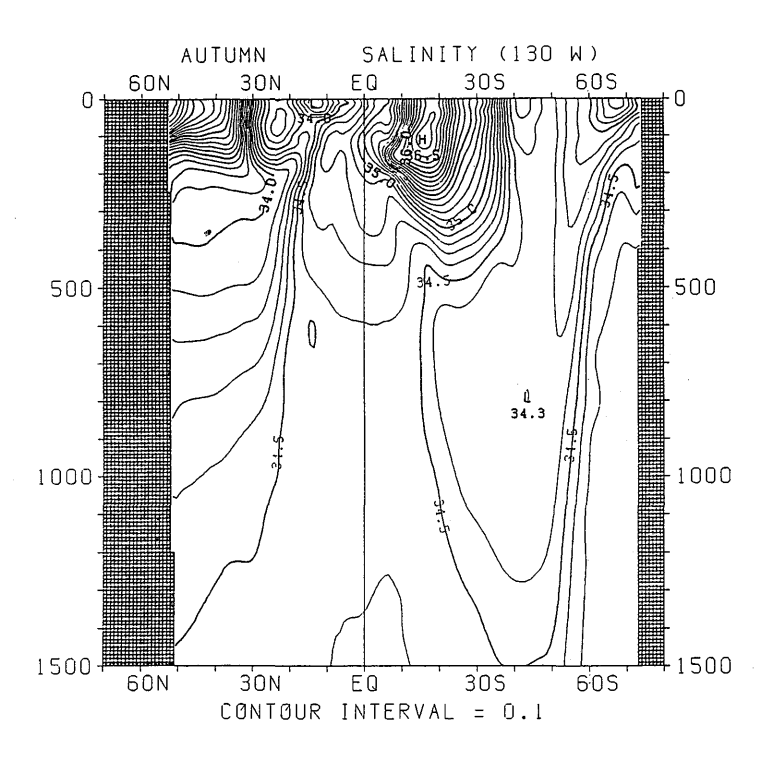


図 3.2.59 秋季における塩分の南北断面分布 (130°W)

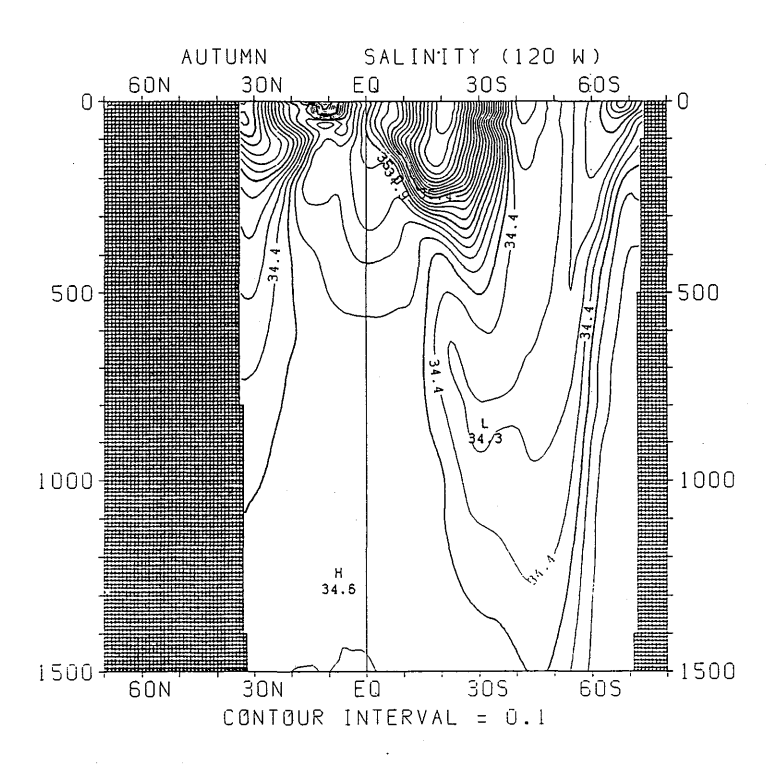


図 3.2.60 秋季における塩分の南北断面分布 (120°W)

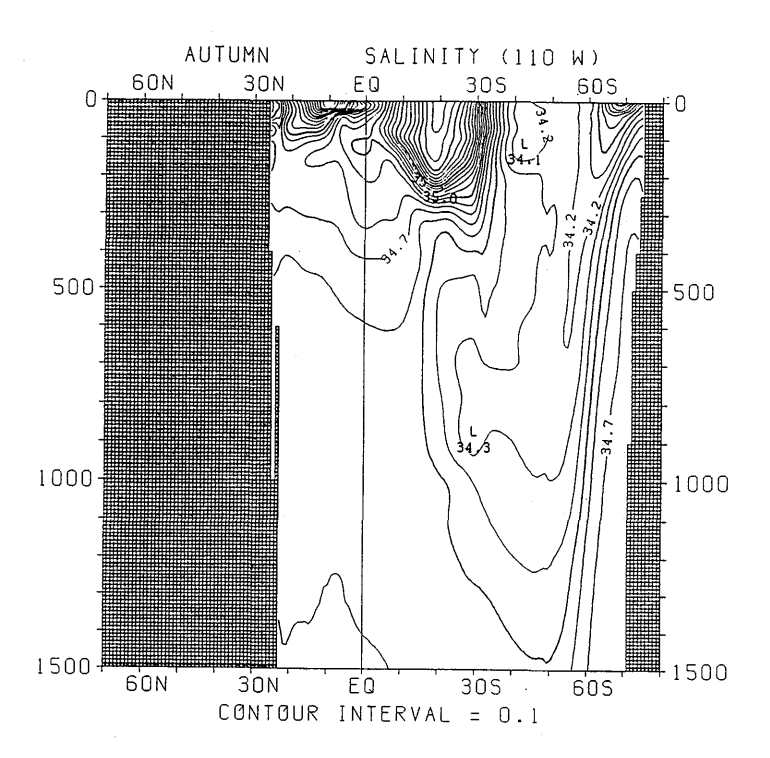


図 3.2.61 秋季における塩分の南北断面分布 (110°W)

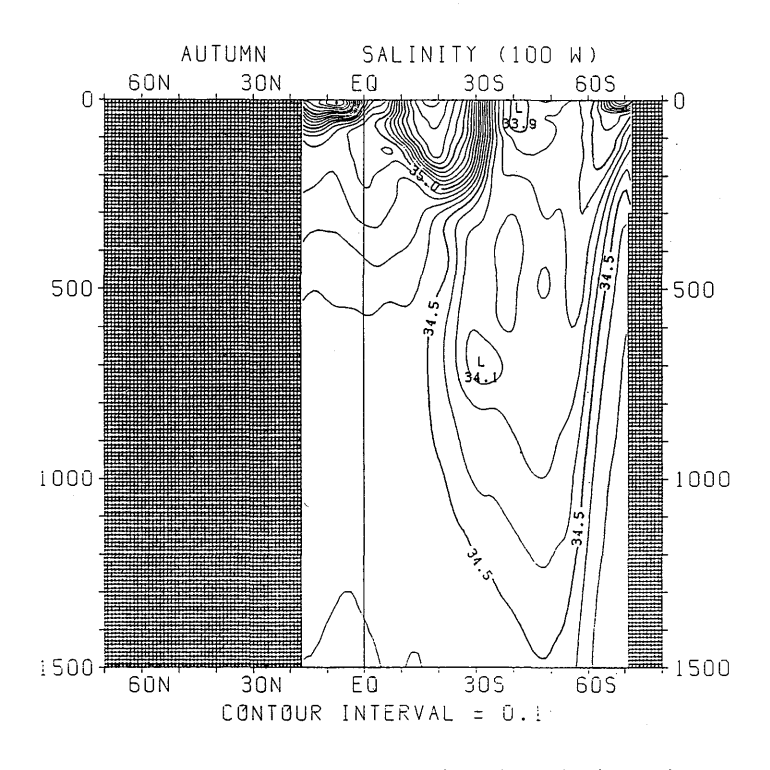


図 3.2.62 秋季における塩分の南北断面分布 (100°W)

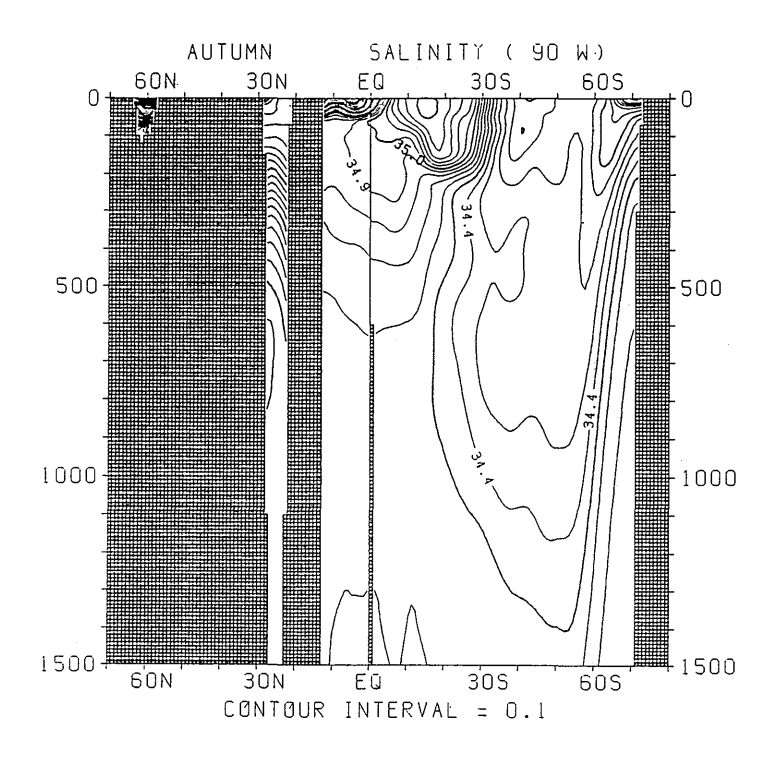


図 3.2.63 秋季における塩分の南北断面分布 (90°W)

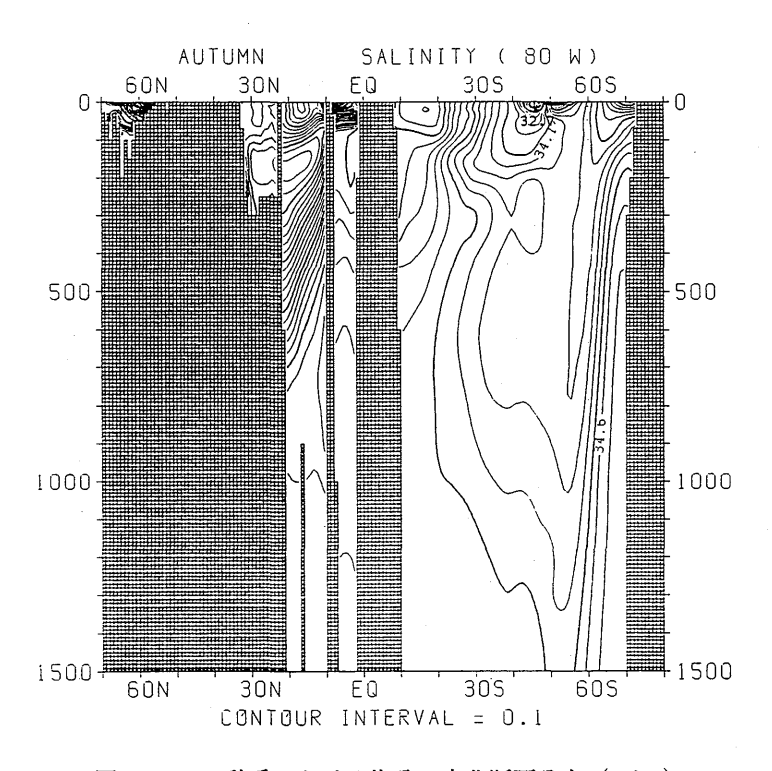


図 3.2.64 秋季における塩分の南北断面分布 (80°W)